

# НАБЕГАНИЕ БАРОКЛИННОГО ПРИЛИВА НА ПРОТЯЖЕННУЮ НЕРОВНОСТЬ МОРСКОГО ДНА

С.В. Довгань

Морской гидрофизический институт  
НАН Украины  
г. Севастополь, ул. Капитанская, 2  
E-mail: ocean@alpha.mhi.iuf.net

В предположениях линейной теории длинных волн исследуется набегание бароклинного прилива на неровность морского дна типа океанического хребта. Жидкость предполагается двухслойной, учитывается действие силы Кориолиса

Рассмотрим неограниченный в горизонтальных направлениях бассейн, заполненный стратифицированной жидкостью. Верхний слой имеет плотность  $\rho_1$  и постоянную глубину  $h_1$ , нижний слой – плотность  $\rho_2$  ( $\rho_2 > \rho_1$ ) и переменную глубину. В областях 1 ( $x < -l_1$ ) и 3 ( $x > l_2$ ) глубина бассейна постоянна ( $H_1 = h_1 + h_2$ ,  $H_3 = h_1 + h_4$  соответственно), в области 2 ( $-l_1 \leq x \leq l_2$ ) – глубина переменная ( $H_2 = h_1 + h_3(x)$ ). В первой области под углом  $\alpha$  к оси  $x$  распространяется бароклинная волна вида:

$$\zeta = D \sin(k_2 x + ny - \sigma t). \quad (1)$$

Определим характеристики волновых возмущений над хребтом, вызываемых волной (1), в зависимости от параметров рельефа хребта.

Будем предполагать жидкость невязкой, а волновые возмущения малыми. Тогда в рамках линейной теории длинных волн система уравнений, описывающих движение жидкости в области  $x < -l_1$ , принимает вид [1]:

$$\begin{aligned} \frac{\partial u_1}{\partial t} - f v_1 &= -g \frac{\partial \zeta_1}{\partial x}, \quad \frac{\partial v_1}{\partial t} + f u_1 = -g \frac{\partial \zeta_1}{\partial y}, \\ h_1 \left( \frac{\partial u_1}{\partial x} + \frac{\partial v_1}{\partial y} \right) &= \frac{\partial \zeta_2}{\partial t} - \frac{\partial \zeta_1}{\partial t}, \\ \frac{\partial u_2}{\partial t} - f v_2 &= -g \left( \frac{\rho_1}{\rho_2} \frac{\partial \zeta_1}{\partial x} + \frac{\rho_2 - \rho_1}{\rho_2} \frac{\partial \zeta_2}{\partial x} \right), \end{aligned} \quad (2)$$

$$\begin{aligned} \frac{\partial v_2}{\partial t} + f u_2 &= -g \left( \frac{\rho_1}{\rho_2} \frac{\partial \zeta_1}{\partial y} + \frac{\rho_2 - \rho_1}{\rho_2} \frac{\partial \zeta_2}{\partial y} \right), \\ \frac{\partial (h_2 u_2)}{\partial x} + h_2 \frac{\partial v_2}{\partial y} &= -\frac{\partial \zeta_2}{\partial t}. \end{aligned}$$

Здесь  $u_1, v_1$  – горизонтальные составляющие вектора волновой скорости в верхнем слое,  $u_2, v_2$  – горизонтальные составляющие вектора волновой скорости в нижнем слое,  $\zeta_1$  – отклонение свободной поверхности от невозмущенного состояния,  $\zeta_2$  – отклонение границы раздела двух слоев от невозмущенного состояния,  $f$  – параметр Кориолиса.

В областях 2 и 3 система имеет такой же вид с заменой  $h_2$  на  $h_3$  и  $h_4$  соответственно.

Так как набегающая волна периодическая и коэффициенты в системе уравнений (2) от  $t$  и  $y$  не зависят, то решение можно искать в виде периодических функций времени  $t$  и координаты  $y$ :

$$\begin{aligned} \{\zeta_j, u_j, v_j\} &= \{\bar{\zeta}_j, \bar{u}_j, \bar{v}_j\}(x) \times \\ &\times \exp[i(ny - \sigma t)] \end{aligned} \quad (3)$$

Подставляя (3) в (2), имеем (здесь и далее  $y$   $\zeta_j, u_j, v_j$  ( $j=1,2$ ) черта сверху опущена) такое уравнение для определения  $\zeta_1$  во второй области:

$$\begin{aligned} \frac{d^4 \zeta_1}{dx^4} + L_3 \frac{d^3 \zeta_1}{dx^3} + L_2 \frac{d^2 \zeta_1}{dx^2} + \\ + L_1 \frac{d \zeta_1}{dx} + L_0 \zeta_1 = 0, \end{aligned} \quad (4)$$

где  $L_0, L_1, L_2, L_3$  – известные функции от переменной  $x$ . Решая уравнение (4) и соответствующие уравнения для определения  $\zeta_1$  в первой и третьей областях (т.е. в областях постоянных глубин) и учитывая, что для  $x > l_2$  нет отраженных волн, находим

$$\zeta_1(x) = \begin{cases} B_1 \exp(-ik_1 x) + D_1 \exp(ik_2 x) + \\ + C_1 \exp(-ik_2 x), & x < -l_1; \\ A_2 \varphi_1(x) + B_2 \varphi_2(x) + C_2 \varphi_3(x) + \\ + D_2 \varphi_4(x), & -l_1 \leq x \leq l_2; \\ A_3 \exp(ik_5 x) + C_3 \exp(ik_6 x), & x > l_2. \end{cases} \quad (5)$$

Здесь

$$k_2 = k_{12} \cos \alpha, n = k_{12} \sin \alpha, k_1^2 = k_{11}^2 - n^2, \\ k_5^2 = k_{31}^2 - n^2, k_6^2 = k_{32}^2 - n^2,$$

$$k_{1j}^2 = \frac{H_1(\sigma^2 - f^2)}{2g\epsilon h_1(H_1 - h_1)} \times \\ \times \left[ 1 + (-1)^j \sqrt{1 - \frac{4\epsilon h_1(H_1 - h_1)}{H_1^2}} \right], \quad (6) \\ k_{3j}^2 = \frac{H_3(\sigma^2 - f^2)}{2g\epsilon h_1(H_3 - h_1)} \times \\ \times \left[ 1 + (-1)^j \sqrt{1 - \frac{4\epsilon h_1(H_3 - h_1)}{H_3^2}} \right], \quad (j=1,2).$$

В выражении (5)  $B_1, C_1, A_2, B_2, C_2, D_2, A_3, C_3$  – произвольные постоянные,  $\varphi_1(x), \varphi_2(x), \varphi_3(x), \varphi_4(x)$  – фундаментальная система решений уравнения (4), которую находим численно. Для определения восьми произвольных постоянных ( $D_1$  – амплитуда набегающей внутренней волны на свободной поверхности считается известной) имеем восемь алгебраических уравнений, представляющих собой условия непрерывности возвышений и потоков жидкости на границах областей ( $x=-l_1, x=l_2$ ). Решая численно эту систему алгебраических уравнений, находим амплитуды волн и волновых скоростей.

Из (5) и (6) следует, что вид генерируемых баротропных волн в областях  $x < -l_1$  и  $x > l_2$ , а также трансформируемой внутренней волны в области за хребтом ( $x > l_2$ ) существенно зависит от параметров модели  $H_1, H_3, h_1$  и  $\epsilon$ . Так для отраженной поверхностной волны (ОПВ), прошедшей поверхностной волны (ППВ), прошедшей внутренней волны (ПВВ) существуют критические значения угла набегания, которые определяют возможные типы волновых движений при  $|\alpha| \leq \alpha_{кр}$  и  $|\alpha| > \alpha_{кр}$ .

Дальнейший анализ волнового движения выполнялся для такого закона изменения глубины бассейна во второй области:

$$H_2(x) = \begin{cases} (H_1 - H_0)x^2 l_1^{-2} + H_0, & -l_1 \leq x \leq 0, \\ (H_3 - H_0)x^2 l_2^{-2} + H_0, & 0 < x \leq l_2. \end{cases}$$

Здесь  $H_0$  – глубина бассейна над гребнем хребта, а склоны хребта имеют параболическую форму. Расчеты проводились для зна-

чений параметров, характерных для района Срединно-Атлантического хребта [2]:

$$H_1 = 3 \cdot 10^3 \text{ м}, H_3 = 4 \cdot 10^3 \text{ м}, h_1 = 8 \cdot 10^2 \text{ м}, \\ \epsilon = 1 \cdot 10^{-3}, l_1 = l_2 = 6 \cdot 10^4 \text{ м}, \varphi = 20^\circ,$$

$$T = 12 \text{ ч } 25 \text{ мин},$$

где  $T$  – период набегающей волны,  $\varphi$  – широта в точке  $x = 0, y = 0$ .

Исследовались зависимости амплитуд волновых возмущений в районе неровности дна при  $\alpha = 0$  с амплитудой набегающего прилива равной 10 м.

Так на рис.1 изображены зависимости  $\zeta_{22}' = \zeta_{22}(x)$  ( $\zeta_{22}' = |\zeta_{22}(x)|$ ) амплитуд отклонений границы раздела от невозмущенного состояния в районе неровности дна для разных значений глубины жидкости над гребнем хребта. На этом рисунке кривая 1 соответствует глубине  $H_0 = 10^3$  м, кривая 2 –  $H_0 = 2 \cdot 10^3$  м, кривая 3 –  $H_0 = 2,8 \cdot 10^3$  м. Из рисунка видно, что в этом районе существуют области значительных амплитуд внутренних волн (15 м) и области, где амплитуды этих волн достаточно малы (9 м). Так наибольшие значения (кривая 1) достигаются в центральной части и на границах хребта. С увеличением глубины жидкости над хребтом (кривые 2, 3) амплитуды трансформируемой приливной волны уменьшаются и достигают максимальных значений только в граничных точках неровности дна.

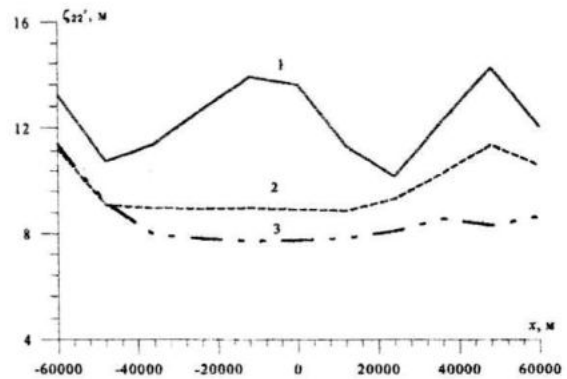


Рис.1 Амплитуды отклонений границы раздела

## ЛИТЕРАТУРА

1. Черкесов Л.В., Иванов В.А., Хартиев С.М. Введение в гидродинамику и теорию волн. – С.-Пб.: Гидрометеиздат, 1992. – 264С.
2. Atlantic Ocean Atlas from the Internal Geophysical Year of 1957-1958 by F. C. Fuglister. Woods Hole. Massachusetts. 1960.